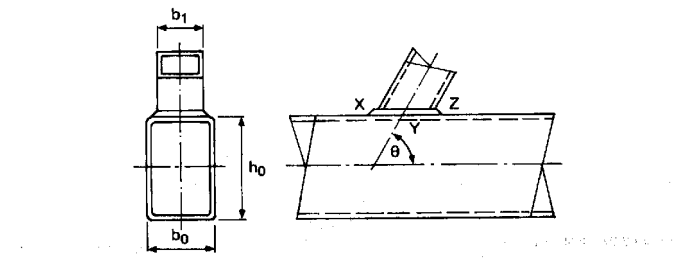
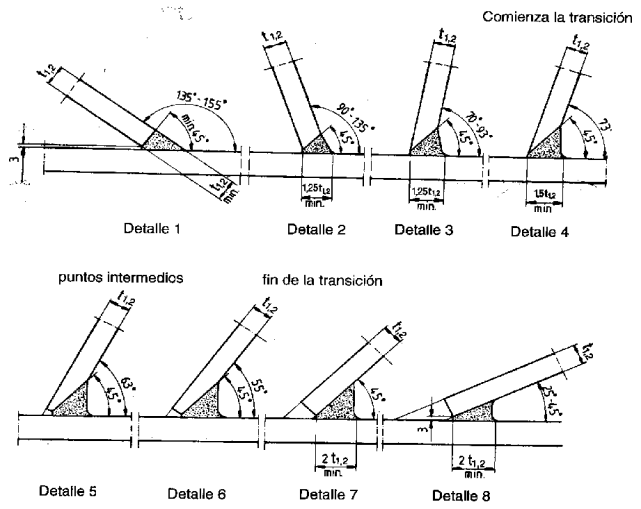


Figura 3.2 - Uniones de perfiles tubulares soldados



Soldadura detalle		
<p><math>X_1</math></p> <p>Borde preparado a escuadra con respecto a la barra de relleno.</p> <p><math>\theta &lt; 60^\circ</math> 3 mm máx.</p>	<p><math>Y_1</math></p> <p>3 mm máx.</p> <p>Donde <math>b_1 &lt; b_0</math></p>	<p><math>Z_1</math></p> <p>3 mm máx.</p>
<p><math>X_2</math></p> <p>3 mm máx.</p> <p><math>\theta &gt; 60^\circ</math></p>	<p><math>Y_2</math></p> <p>3 mm máx.</p> <p>Donde <math>b_1 = b_0</math></p>	<p><math>Z_2</math></p> <p>1 a 2,5 mm</p> <p>3 mm máx.</p> <p><math>H \text{ mín.} = t_1</math></p>
<p><math>X_3</math></p> <p>1 a 2,5 mm</p> <p>3 mm máx.</p> <p><math>H \text{ mín.} = t_1</math></p>	<p><math>Y_3</math></p> <p>45°</p>	

Figura 3.30 - Soldaduras en ángulo y a tope entre perfiles tubulares rectangulares en nudos de celosías

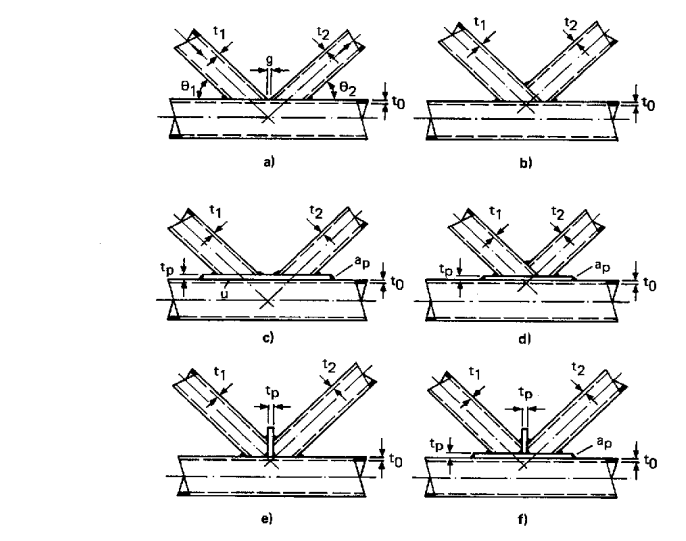
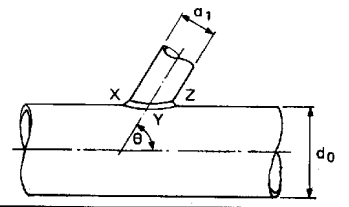


Figura 6.3 - Nudos en K de perfiles tubulares rectangulares con y sin refuerzos



Soldadura detalle		
<p><math>X_1</math></p> <p>Borde preparado a escuadra con respecto a la barra de relleno.</p> <p>3 mm máx.</p>	<p><math>Y_1</math></p> <p>3 mm máx.</p>	<p><math>Z_1</math></p> <p>3 mm máx.</p>
<p><math>X_2</math></p> <p>3 mm máx.</p>	<p><math>Y_2</math></p> <p>3 mm máx.</p> <p><math>d_1 = d_0</math></p>	<p><math>Z_2</math></p> <p>1 a 2,5 mm</p> <p>3 mm máx.</p> <p>mín. = <math>t_1</math></p>
<p><math>X_3</math></p> <p>1 a 2,5 mm</p> <p>3 mm máx.</p>	<p><math>Y_3</math></p> <p>1 a 2,5 mm</p> <p>3 mm máx.</p>	

Figura 3.31 - Soldaduras en ángulo y a tope entre perfiles tubulares circulares en nudos de celosías